

電世界電工技術叢書
電流互感器之原理與設計

趙乃九編

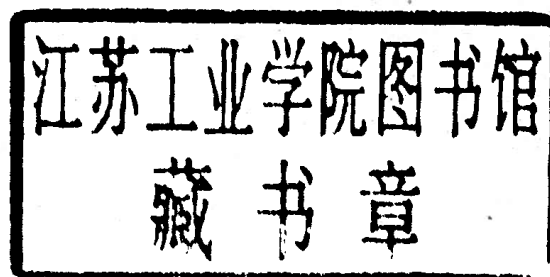
沈越昭校

電世界出版社

電流互感器之原理與設計

趙乃九編

沈越昭校



電世界出版社

內容提要

本書內容包括電流互感器之一般原理、運轉特性、應用範圍、型式結構、設計原理及其試驗方法等；對於設計時過電流特性之計算，亦作必要之介紹。

本書可供電機製造工程技術人員，在設計時參考之用。而從事控制線路設計、繼電保護工作以及工業企業供電之工程技術人員，對於進一步了解電流互感器之特性，亦有參考之必要。

電流互感器之原理與設計

編著者 趙乃九
校閱者 沈昭越
出版者 電世界出版社
總經售 上海圖書發行公司
排印者 中和印刷廠
版權所有 ★ 不可翻印

專—13: 0·12 開本: 762×1067, $\frac{1}{2}5$ 印張: 6

字數: 100千字 定價九角

1955年3月第一版第一次印刷 印數0001—3000

上海市書刊出版業營業許可證零陸伍號

本書採用符號表

A

- A_1 =瓦特小時計 A 接於互感器 1 時之轉數
 A_2 =瓦特小時計 B 接於互感器 2 時之轉數
 A_c =鐵芯之淨面積
 A_{c4} =鐵芯之毛面積
 AT =安培匝數
 AT_a =有功激磁安培匝數
 AT_r =無功激磁安培匝數
 A_w =窗口面積
 A_y =鐵軛之淨截面面積
 A_{yg} =鐵軛之毛截面面積
 a =空載電流與一指定副級電流之比
 a =環形鐵芯之軸向厚度
 a_1 =原級側絕緣導線之厚度
 at_a =有功單位激磁安培匝數
 at_i =磁力線通過鐵芯每一聯接點所需之安培匝數
 at_r =無功單位激磁安培匝數

B

- B_1 =瓦特小時計 B 接於互感器 1 時之讀數
 B_2 =瓦特小時計 B 接於互感器 2 時之讀數
 B_c =鐵芯之磁通密度
 B_s =漏磁通密度
 B_{sat} =鐵芯飽和磁通密度
 B_y =鐵軛之磁通密度
 b =環形鐵芯之軸向闊度
 b_1 =原級側絕緣導線之闊度

C

- C =校正係數
 C =環形鐵芯之內圓周

$C_1, C_2, C_3, C_4, C_5, C_6$ =空隙係數

D

- D =鐵芯之外接圓直徑
 D_1 =副級絕緣筒之內徑
 D_2 =副級繞組之內徑
 D_3 =副級繞組之外徑
 D_4 =原級絕緣筒之內徑
 D_5 =原級繞組之內徑
 D_6 =原級繞組之外徑
 D_m =原級繞組之平均直徑
 D_i =環形鐵芯之內徑
 D_o =環形鐵芯之外徑
 d_2 =副級導線之絕緣直徑
 d_p =原級繞組厚度
 d_s =副級繞組厚度

E

- E =電流讀數差誤
 E_1 =原級感應電勢
 E_2 =副級感應電勢
 E_s =漏磁通感應電勢
 e_i =每匝線圈之電壓

F

- F =兩接線端所生應力
 F_e =電流比因數
 F_p =總軸向應力之垂直分量
 F_t =總軸向應力
 f =週率
 f_w =窗口高與闊之比
 f_{wd} =鐵軛放大率

G

- G_c =鐵芯之總重量
 G_k =線捲之總重

G_{k1} =原級繞組之銅重 G_{k2} =副級繞組之銅重

H

 H =磁場強度 h =電流為 i 時之磁場強度 h =鎳捲軸向長度 h_1 =原級繞組之高度 h_2 =副級繞組之高度 h_e =環形鐵芯繞組兩端之空隙 h_{e1} =原級繞組每端對鐵之空隙 h_{e2} =副級繞組每端對鐵之空隙 h_r =電抗高度 h_y =鐵軛高度 h_w =窗口高度

I

 I_1 =原級電流 I_2 =副級電流 $I_1' = I_2$ 之反向分量 $I_2' = I_2 / k_T$ I_{2m} =副級電流無功分量 I_{2w} =副級電流有功分量 I_{2T} =換算於副級側之原級電流 I_e =激磁電流 I_m =激磁電流之無功分量 I_{mT} =換算於副級側之原級無功電流 I_{n1} =額定原級電流 I_{n2} =額定副級電流 I_0 =空載電流 I_{sc} =短路電流之有效值 i_{sc} =短路電流之瞬間值 I_{sh} =分路電流 I_w =激磁電流之有功分量 I_{wT} =換算於副級側之原級有功電流

J

 J =短路電流之電流密度 J_1 =原級繞組之電流密度 J_2 =副級繞組之電流密度 J_n =額定電流時之電流密度

K

K=雙振盪系統之偶合度

K=瓦特小時計公稱瓦小時

 K_{emex} =最大比率 K_e =實在電流比 K_{e1}, K_{e2} =兩互感器之標定百分率 K_m =機械強度 K_{ne} =標稱電流比 K_s =飽和度 K_T =圈數比 K_r =熱容量 K_v =電壓比率 K_{v1} =原級側電壓比

k=漏磁校正係數

L

 L_1 =原級側電感 L_1 =原級繞組之總長度 L_{1s} =原級側漏磁電感 L_2 =副級側電感 L_2 =副級繞組之總長度 L_s =漏磁電感 L_{2s} =副級側漏磁電感 l_k =環形鐵芯副級繞組每圈之平均長度 l_{k1} =原級繞組每圈之平均長度 l_{k2} =副級繞組每圈之平均長度

M

M=雙交鏈電路之互感

N

n=最大副電流倍數

 n_1 =原級線圈之層數

| | |
|--------------------------------|-------------------|
| n_2 =副級線圈之層數 | V_1 =原級端電壓 |
| P | (VA)=單位激磁伏安 |
| P=副級有效漏磁途徑 | V_2 =副級端電壓 |
| P_p =在 T° 時銅線之鑄點應力 | [VA]=總激磁伏安 |
| $p=a$ 之函數 | V_c =鐵芯總體積 |
| p =矩形鐵芯截面之闊度 | V_{cl} =鐵芯之鐵柱體積 |
| Q | V_{Ls} =鐵芯四角之體積 |
| q=矩形鐵芯截面之長度 | V_{cy} =鐵芯之鐵軛體積 |
| q=原級全線捲數 | W |
| R | W=漏磁場磁能 |
| R'' =副級電路內可調節電阻器之電阻 | W_e =總的鐵損失 |
| R_1 =原級繞組電阻 | w_1 =原級繞組匝數 |
| R_2 =副級繞組電阻 | w_2 =副級繞組匝數 |
| R_b =負載電阻 | w_c =單位鐵損失 |
| R_c =副級繞組溫升試驗前之冷電阻 | w_m =單位磁化伏安 |
| R_o =短路未開始前之線捲電阻 | w_w =窗闊 |
| R=四端電阻器電阻 | X |
| R_s =將互感器之原級短路而在副級側量得 之電阻 | X_1 =原級線捲電抗 |
| R_{sh} =分路電阻 | X_2 =副級線捲電抗 |
| $R_T=R_2+R_b$ | X_b =負載電抗 |
| R_t =副級繞組溫升試驗後之熱電阻 | $X_T=X_2+X_b$ |
| r=三端電阻器之電阻 | Y |
| r_1, r_2, r_p, r_s =電阻調節器之電阻 | Y_e =主磁通導納 |
| S | Z |
| s_k =銅線截面 | Z_1 =原級線捲阻抗 |
| s_{k1} =原級導線截面 | Z_2 =副級線捲阻抗 |
| s_{k2} =副級導線截面 | Z_b =負載阻抗 |
| T | Z_e =主磁通阻抗 |
| t_{1y} =原級繞組每層之匝數 | $Z_T=Z_2+Z_b$ |
| t_{2y} =副級繞組每層之匝數 | α |
| U | α =銅線之電阻係數 |
| U=平均漏磁周徑 | β |
| V | β =相角 |

γ_k =銅線之密度 δ δ =原級與副級線捲在軸向位移之距離 δ_s =空間因數 ϵ ϵ_e =電流比差 ϵ_T =圈數比差 θ θ_1, θ_2 =原級副級側功率因數角 ϑ_1 =短路初終瞬間之線捲平均溫度 ϑ_2 =短路未開始間之線捲平均溫度 ϑ =由 ϑ_1 至 ϑ_2 一段時間內線捲之溫度 μ μ =導磁係數 ξ ξ =激磁角 ρ ρ_o =銅線在 $t^{\circ}\text{C}$ 時電阻率 σ σ =白朗達爾漏磁因數 σ =銅線之比熱 τ τ =海倫漏磁因數 τ_1, τ_2 =漏磁因數 Ψ Ψ =磁通 Ψ_{1g} =原級部份共同磁通 Ψ_{1s} =原級漏磁通 Ψ_{2g} =副級部份共同磁通 Ψ_{2s} =副級漏磁通 Ψ_m =主磁通 Ψ_o =磁化角 Ψ_2 =副級側阻抗角 $\Psi_3=I_2T-5E_2$ 之相位移 ω ω =角速度

目 錄

| | |
|-------------------------------|----|
| 本書採用符號表..... | 1 |
| 第一章 緒論 | |
| 1—1 儀用互感器之應用 | 1 |
| 1—2 儀用互感器與變壓器之比較 | 2 |
| 1. 變壓器之原理..... | 2 |
| (1) 空載電壓圖 | 2 |
| (2) 變壓器在負載情況下之特性 | 4 |
| (3) 副級線捲之漏磁 | 6 |
| (4) 負載情況下變壓器之電壓圖 | 7 |
| 2. 儀用互感器與變壓器之比較..... | 9 |
| (1) 電壓互感器與變壓器之區別 | 9 |
| (2) 電流互感器與電壓互感器之區別及其應用上所存在之誤差 | 10 |
| 1—3 電流互感器比差與角差之定義 | 11 |
| 1—4 電流互感器之規範與標準 | 13 |
| 1. 各種規範之定義..... | 13 |
| (1) 容量 | 13 |
| (2) 電壓 | 13 |
| (3) 電流 | 13 |
| (4) 週率 | 14 |
| (5) 精密度 | 14 |
| (6) 角差 | 14 |
| (7) 溫升 | 14 |

| | |
|---------------------|----|
| (8) 熱容量 | 14 |
| (9) 機械強度 | 14 |
| (10) 飽和倍數 | 14 |
| (11) 最大副級電流倍數 | 15 |
| 2. 電流互感器之標準..... | 15 |

第二章 電流互感器之原理與運轉

| | |
|---------------------------|----|
| 2—1 向量圖 | 18 |
| 2—2 比差與角差之示式 | 19 |
| 1. 計算法..... | 19 |
| 2. 圖解法..... | 21 |
| 3. 極大電流比與零角差之條件..... | 22 |
| 2—3 過負載電流對於比差與角差之影響 | 24 |
| 2—4 短路電流對於運轉特性之影響 | 28 |
| 1. 最大副級電流倍數..... | 28 |
| 2. 飽和倍數..... | 29 |
| 3. 熱容量..... | 29 |
| 4. 機械強度..... | 32 |
| 2—5 漏磁電抗之計算 | 36 |
| 1. 概念..... | 36 |
| 2. 漏磁之計算..... | 39 |
| (1) 筒形繞組 | 42 |
| (2) 雙筒形繞組 | 42 |
| (3) 環形鐵心繞組 | 42 |
| 2—6 電流互感器之運轉 | 43 |
| 1. 電流互感器之副級側不能開路..... | 43 |
| 2. 選用電流互感器對於容量之決定..... | 43 |

| | |
|----------------------|----|
| 3. 儀用互感器之結線..... | 44 |
| 4. 電流互感器用以運轉繼電器..... | 46 |

第三章 構造

| | |
|------------------------|----|
| 3—1 電流互感器之構成部份 | 49 |
| 3—2 鐵芯 | 49 |
| 3—3 鎳捲 | 51 |
| 1. 副級繞組..... | 51 |
| 2. 原級繞組..... | 51 |
| 3—4 鎳端之出線裝置 | 52 |
| 3—5 油箱 | 52 |
| 3—6 電流互感器之種類 | 54 |
| 1. 單匝貫穿式電流互感器..... | 54 |
| 2. 瓷絕緣式電流互感器..... | 56 |
| 3. 特高電壓之電流互感器..... | 58 |
| 4. 補償式電流互感器..... | 59 |
| (1) 分數補償鎳捲 | 59 |
| (2) 具有分路回路之電流互感器 | 59 |

第四章 電流互感器之設計

| | |
|-----------------------------|----|
| 4—1 材料之選用對於電流互感器特性之影響 | 62 |
| 4—2 鐵芯之選定 | 64 |
| 1. 矩形之鐵芯截面..... | 65 |
| 2. 正方形之鐵芯截面..... | 66 |
| 3. 十字形之鐵芯截面..... | 67 |
| 4. 環形鐵芯..... | 68 |
| 4—3 鎳捲之決定與排列 | 68 |
| 1. 鎳捲之決定..... | 68 |

| | |
|---|----|
| 2. 鎌捲之排列..... | 69 |
| (1) 空間因數 | 69 |
| (2) 鎌捲排列 | 70 |
| (3) 繞組之銅重及其電阻 | 70 |
| 4—4 鐵芯之計算 | 73 |
| 1. 鐵芯之體積..... | 73 |
| 2. 鐵芯之重量..... | 73 |
| 4—5 運轉特性 | 73 |
| 1. I_m 及 I_w 之示式 | 73 |
| (1) $B-H$ (或 $B-w_m$) 及 $B-w$ 曲線 | 74 |
| (2) $B-VA$ 及 $B-\cos\xi$ 曲線 | 77 |
| (3) 由有功及無功安培匝數求得 I_e | 79 |
| 2. K_c 與 β 之計算 | 79 |
| 3. 補償鎌捲..... | 81 |
| 4—6 過負載特性之計算 | 81 |
| 4—7 設計程序之總結 | 84 |
| 1. 多匝電流互感器之設計程序..... | 84 |
| (1) 鐵芯之選定 | 84 |
| (2) 副級繞組之排列 | 86 |
| (3) 原級繞組之排列 | 87 |
| (4) 鐵芯之計算 | 88 |
| (5) 運轉特性 | 89 |
| (6) 過電流特性 計算..... | 89 |
| 2. 單匝貫穿式電流互感器之設計程序..... | 93 |
| (1) 鐵芯之選定 | 93 |
| (2) 副級繞組之排列 | 94 |

| | |
|--------------------|----|
| (3) 鐵芯之計算 | 94 |
| (4) 運轉特性 | 95 |
| (5) 過電流特性之計算 | 96 |

第五章 設計實例

| | |
|---------------|-----|
| 5—1 例題一 | 98 |
| 5—2 例題二 | 107 |
| 5—3 例題三 | 113 |

第六章 試驗

| | |
|-----------------------|-----|
| 6—1 試驗項目之分類 | 119 |
| 6—2 極性試驗 | 119 |
| 1. 直流試驗法 | 119 |
| 2. 用標準互感器之差結比較法 | 119 |
| 3. 無標準互感器之差結法 | 119 |
| 6—3 絶緣電阻試驗 | 120 |
| 6—4 耐壓試驗 | 121 |
| 6—5 溫升試驗 | 121 |
| 6—6 開路試驗 | 122 |
| 6—7 热穩定與動穩定試驗 | 122 |
| 6—8 比差與角差試驗 | 122 |
| 1. 間接法 | 123 |
| 2. 絕對法 | 125 |
| (1) 兩瓦特計指示法 | 125 |
| (2) 電阻平衡法 | 127 |
| 3. 相對法 | 129 |
| (1) 兩瓦特計互換法 | 129 |
| (2) 零示電橋法 | 130 |

第一章

緒論

1-1 儀用互感器之應用

由發電廠所產生之多相交流電能，藉輸配電系統而將其輸送至各用戶。電能之供應猶如商品之銷售，必須藉各種儀器以達到量度上之目的。在交流制中，電流互感器與電壓互感器（統稱為儀用互感器）成為現代量電上不可缺少之儀器，無論安培計、伏特計或瓦特小時計等，由於技術上與經濟上之關係，在製造方面往往不能符合現代高電壓與高電流電路上之要求。故利用電流互感器及電壓互感器，可以將電路內之電流或電壓縮小至所要求之數值；然後再以低電流或低電壓之儀表度量之。

現代電氣之發展日新月異，控制與保護系統皆日趨複雜，靈敏度極高之繼電器成為控制或保護系統中極重要之原件。故利用儀用互感器縮小電路上的高電流或高電壓，用以達到操作繼電器之目的，亦為十分重要。

儀用互感器按其量度之對象可分為電流互感器與電壓互感器兩種。本書所敘述之範圍祇限於電流互感器。電流互感器又稱為串聯變流器；其結線圖如圖 1-1 (a) 所示。

互感器與瓦特計連在一起的應用如圖 1-1 (c) 所示。

綜合以上所述，電流互感器用於度量上，能將高電流縮小至便於量度之數值；用在控制線路時，可以操作繼電器以達到保護或控制上之要求，同時可以減輕開關台內聯接粗線之麻煩。

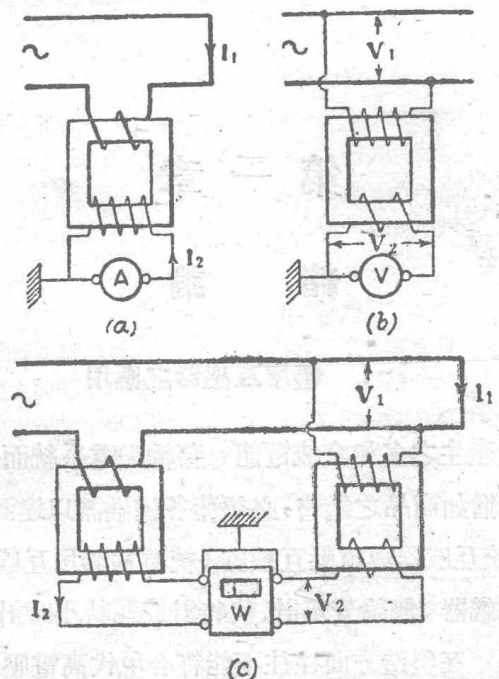


圖 1-1 儀用互感器之結線圖

I-2 儀用互感器與變壓器之比較

1. 變壓器之原理

(1) 空載電壓圖

圖 1-2 表示在鐵芯兩柱上繞着原級與副級兩組線圈之變壓器。當副級線圈開路，而以一交流電壓加於原級線圈 I 之兩端時，在原級線圈內即產生一交變電流 I_0 ；由此電流而產生一磁通 Φ_m 。我們稱 I_0 為空載電流，它滯後於端電壓 V_1 一相位角 φ_0 。 $V_1 I_0 \cos \varphi_0$ 之乘積為由電源所供給之電能；此一部份電能包括變壓器之鐵損失與線圈內一小量之銅損失。由於銅損失極小之緣故，故 $I_0 \cos \varphi_0$ 約等於鐵損失 P_w 之電流 I_w 。

因為整個磁回路幾乎全部由鐵所組成，其中空氣隙祇佔極小部份，故僅需極小之激磁電流用以產生此磁通量 Φ_m 。磁通量與電流在磁路與電路內

各以相同的週率變化，因此線捲 I 內即產生一自感電勢。因為在鐵芯內之磁通為交變的，故即有鐵損失 P_w 產生。此自感電勢與線捲內電壓降之幾何和，應當與端電壓相平衡。

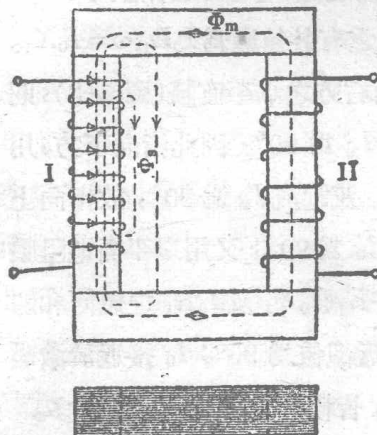


圖 1-2 單相變壓器之構成原理

所產生之電勢 E_s 之合成電勢。因此 E_1 、 E_s 與線捲本身之電壓降三種電勢之幾何和，應平衡於電源端電壓 V_1 。在磁回路中祇有主磁通 Φ_m 可將原級線捲之電能傳輸至副級線捲上，此磁通是為有用之磁通；而漏磁通 Φ_s 不能用以傳輸電能，稱之為無用磁通。因此祇有 E_1 為有用電勢，而漏磁通所產生電勢 E_s 為無用的。三種電勢的關係示於圖 1-3。

主磁通 Φ_m 在線捲 I 中感應電勢 E_1 ，滯後於 Φ_m 90° ；而主磁通 Φ_m 係由與其同相位之電流 I_m 而產生，故 I_m 稱之為激磁

在磁回路內磁通可分為兩部份：由線捲 I 所產生之磁通 Φ_m 係在鐵芯內通過；另一小部份磁通 Φ_s 在空氣中通過。 Φ_s 與 Φ_m 成平行方向（圖 1-2）。因為空氣之磁導係數 $\mu = 1$ ，故在空氣部份之磁通與電流成正比。磁通 Φ_m 與電流之關係，係根據磁化曲線之特性而定。在空氣部份之磁通，我們稱之為漏磁通 Φ_s ；在鐵芯部份的磁通，同時通過線捲 II，稱之為主磁通 Φ_m 。自感電勢係由主磁通 Φ_m 所產生的電勢 E_1 與漏磁通 Φ_s

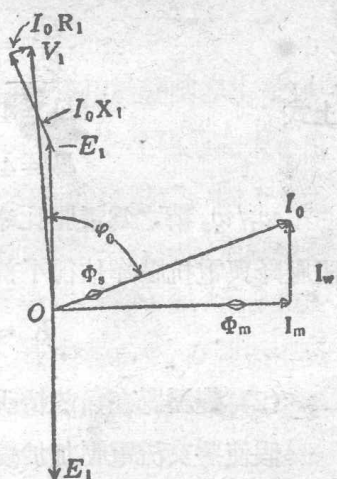


圖 1-3 無載向量圖

電流的無功分量，導前於 E_1 為 90° ，並與 Φ_m 成正比例。加在變壓器原級線捲上之端電壓，其中一小部份須用以平衡和 I_0 同相位之電阻壓降 I_0R_1 以及和電流 I_0 導前 90° 之電抗壓降 I_0X_{10} 。

假使 I_0 為空載電流， L_{10} 為原級線捲內漏磁通 Φ_0 之自感係數，又 $\omega = 2\pi f$ ，式中 f 為電源電壓之週率；則漏磁電勢之有效值應為 $I_0L_{10}\omega = I_0X_{10}$ 。

設將激磁電流之無功分量 I_m 作為指向右方之水平直線（圖 1-3），則主磁通 Φ_m 與 I_m 為同相位；電勢 E_1 移後於 I_m 為 90° ，因此指向下方；用以平衡 E_1 之電壓為 $-E_1$ ，越前於磁通量 Φ_m 及電流 I_m 為 90° ，故指向上方；漏磁通所感應電勢 I_0X_1 垂直並越前於 I_0 為 90° ；又用以平衡電阻壓降之 I_0R_1 與電流 I_0 為同相位；此三種電勢 $-E_1$ 、 I_0X_1 及 I_0R_1 之幾何和即為原級線捲之端電壓。 V_1 與 I_0 之相位移近似值為 90° ； I_0 接近於激磁電流。由圖 1-3 我們亦可見到 I_0R_1 及 I_0X_1 皆較 $-E_1$ 與 V_1 小得很多。

假使副級線捲處於開路的情況下，令主磁通在鐵芯內變化並通過副級線捲而感應一電勢 E_2 ，因為在原級與副級線捲中之週率完全相同，故在兩線捲內之感應電勢與其圈數成正比 即：

$$\frac{E_1}{E_2} = \frac{w_1}{w_2} = K_v \quad \dots \dots \dots \quad (1-1)$$

上式

$$E_1 = 4.44fw_1\Phi_m \times 10^{-8} \quad \dots \dots \dots \quad (1-2)$$

$$E_2 = 4.44fw_2\Phi_m \times 10^{-8} \quad \dots \dots \dots \quad (1-3)$$

w_1/w_2 稱之為電壓比率。因為空載電流十分小，所以在空載時之電阻壓降與電抗壓降佔很小部份，故 $E_1 \doteq V_1$ ，因此電壓比率可定為：

$$K_v = \frac{w_1}{w_2} \doteq \frac{V_1}{V_2} \quad \dots \dots \dots \quad (1-4)$$

(2) 變壓器在負載情況下之特性

假使將交流電壓加於變壓器之原級側，並在副級回路內接入一電阻器，則有一電流 I_2 在此副級電路內流動。如果不考慮變壓器之損失，輸入

原級線捲之電能將等於副級線捲之輸出電能。當副級線捲接有負載時，由原級線捲所供給之電流，係與副級電路內之負載電流成正比。電能之傳輸依賴主磁通之作用，故不論在負載或空載情況下，此主磁通皆必須存在。

變壓器由於負載之增加而增加其原級電流時，則用以平衡原級端電壓的三個電壓之分量 $-E$ 、 I_1X_1 及 I_1R_1 亦隨之而改變，其變化情形如下：電阻壓降 I_1R_1 與電抗壓降 I_1X_1 將變為較大之分量，而由主磁通 Φ_m 所產生的電勢則變為較小之分量。但是電阻壓降及電抗壓降與 E_1 值比較為極小的，所以我們可以假定 E_1 無論在空載或負載之情況下都是相等的；也可以說主磁通 Φ_m 因變動之數值很小，故不論在空載或負載情況下，在變壓器電回路內用以產生主磁通 Φ_m 所需要之磁勢 I_w 是一常數。故在空載或負載時之鐵損失，亦可假定相等，因此 I_w 為一常數。在負載時用以產生主磁通 Φ_m 之電流為 I_m 與 I_w 之幾何和，如激磁電流以 I_e 表示之，則：

$$I_e = I_w + I_m \quad \dots\dots\dots(1-5)$$

實用上 $I_e \doteq I_0$ (見圖 1-3 所示)

當在變壓器之副級側接入負載時，有兩個磁勢作用於變壓器上；即原

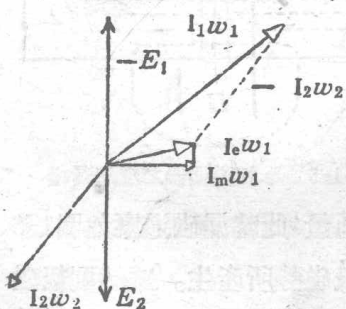


圖 1-4 負載時磁動勢圖

級線捲與副級線捲之磁勢。主磁通之大小由於此兩磁勢之合成磁勢而決定之。圖 1-4 表示變壓器在負載時之磁勢。圖中假定副級電流 I_2 移後於感應電勢 E_2 ，又 E_2 或 E_1 移後於主磁通 Φ_m 為 90° ；若主磁通 Φ_m 在變壓器負載時並不改變其空載時之數值，則合成之磁勢仍為 $I_e w_1$ 安培匝。此假定僅當總的原級磁勢等於 $I_e w_1$ 與 $-I_2 w_2$ 之幾何和時方為可能（圖 1-4）。當副級負載